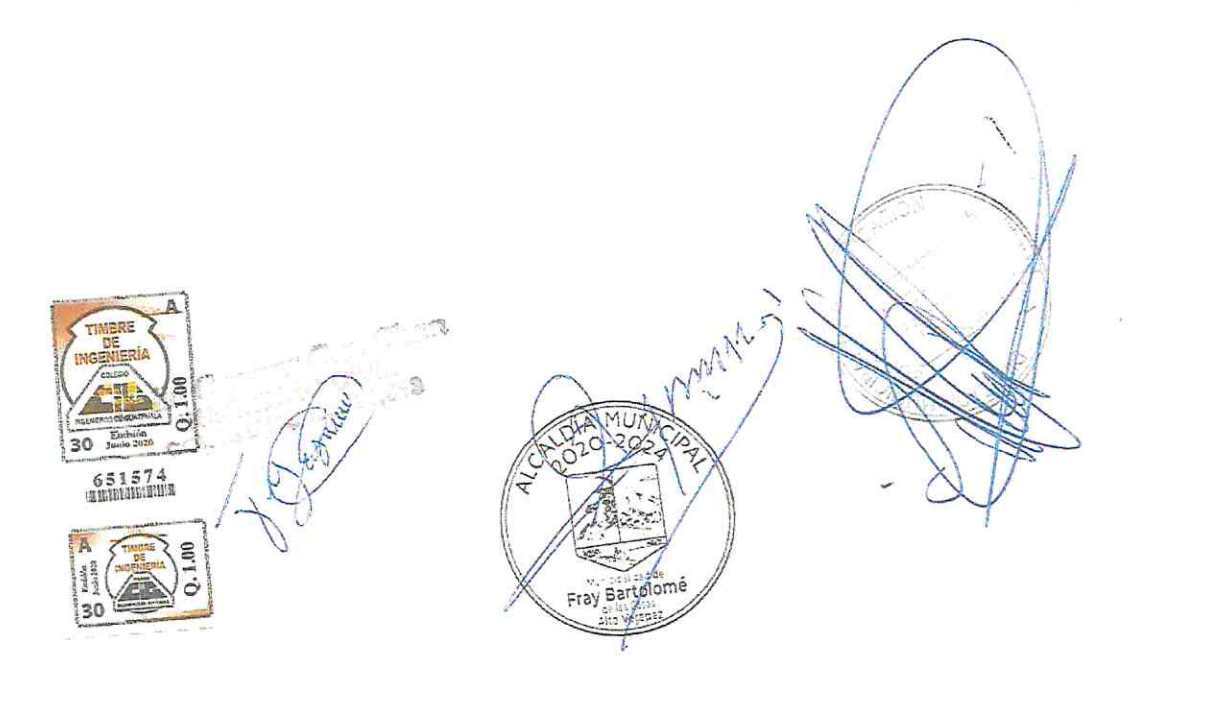
## ANALISIS ESTRUCTURAL PUENTE VEHICULAR SOBRE RIO YAXHA.

DMP. FRAY BARTOLOME DELAS CASAS, A V



MARZO 2021



#### INTRODUCCIÓN

El presente documento contiene los lineamientos para el análisis estructural efectuado a la geometría del puente sobre el rio Yaxha, Fray Bartolome de Las Casas, Alta Verapaz.

El proceso de análisis se realizó utilizando un camión de diseño Hl-93, de la AASHTO, (American Association of State Highway and Transportation Officials).

#### NORMAS TECNICAS

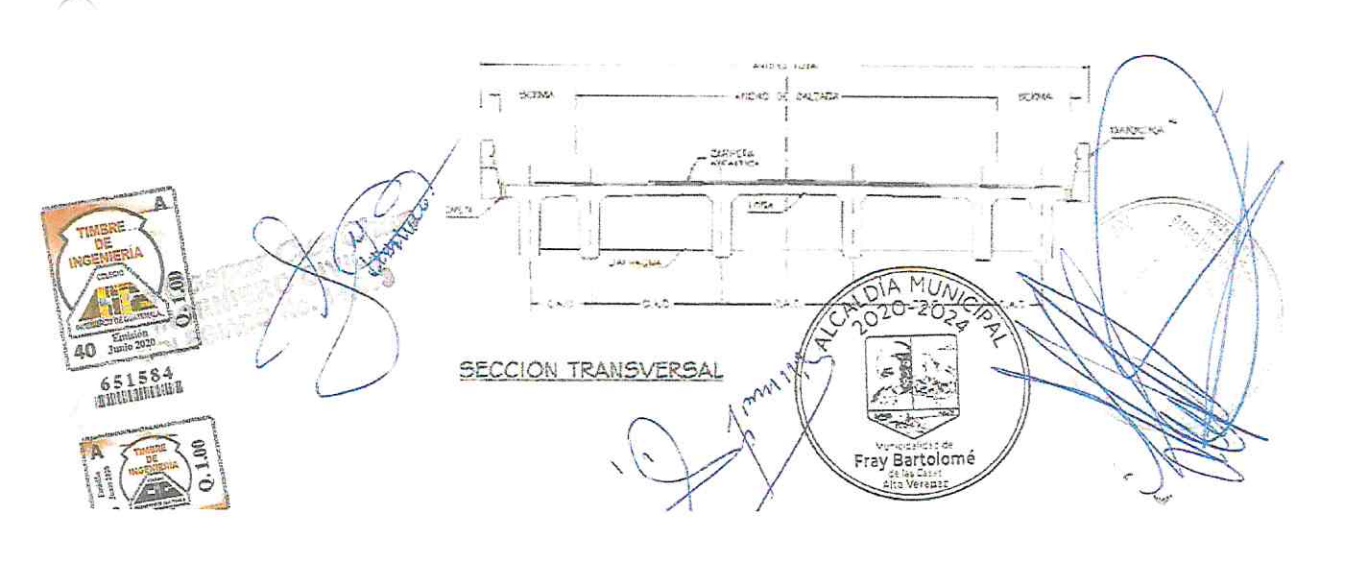
Como base técnica y legal del diseño se adoptaron las siguientes normas y códigos de construcción:

- Normas de Seguridad Estructural de la Asociación Guatemalteca de Ingeniería Estructural y Sísmica AGIES NSE (5.2-2018).
- ASCE 7-10 "Minimun Design Loads for Buildings and other Structures".
- ASCE 7-05 6.5.10
- Códigos del Instituto Americano del Concreto (ACI): ACI 318S-19 "Requisitos de Reglamento Para Concreto Estructural y Comentarios"
- AASHTO, (American Association of State Highway and Transportation Officials).
- Carga de diseño AASHTO HI-93.

#### DESCRIPCION DE LA ESTRUCTURA

Puente es una estructura que permite pasar el tráfico a través de cualquier interrupción al trazo de una carretera como un río, un cañón, un barranco u otra línea de tráfico.

Superestructura y Subestructura. La estructura será destinada para salvar el rio Yaxha, con un ancho de 4 metros, el puente tendrá un largo terminado de 8.00 metros, el ancho del puente terminado con banqueta será de 6.02, el cual tendrá un carril central de 4 metros, y 2 alerones laterales de 1.01 metros que será destinado para paso peatonal, tal y como se muestra en la siguiente sección.



## CLASIFICACION DE OBRA

#### ESPECTROS DE DISEÑO SEGÚN AGIES 2018 NSE2

ASOCIACIÓN GUATEMALTECA DE INGENIERÍA SISIMICA Y ESTRUCTURAL

#### DATOS:

USICACIÓN DE PROYECTO

DEPARTAMENTO Alta Verapaz

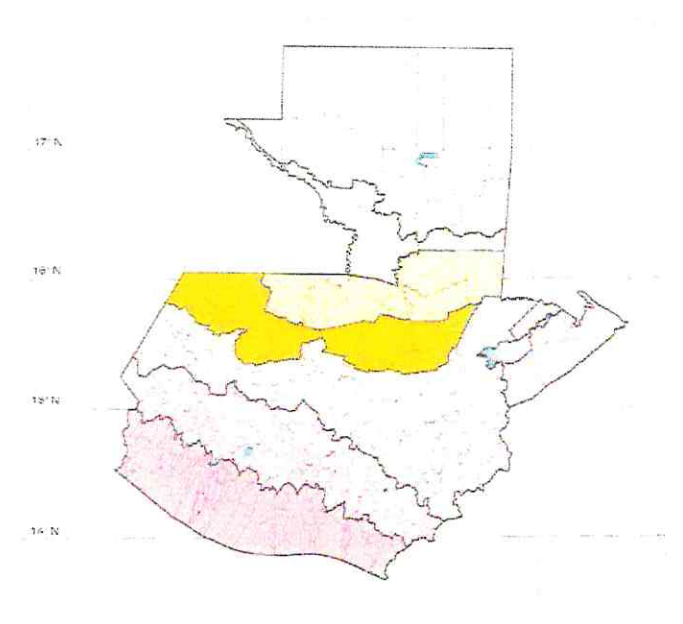
MUNICIPIO Fray Bartolomé de las Casas

ORDENADA ESPECTRAL DE PERIODO CORTO
ORDENADA ESPECTRAL CON PERIODO DE 1 SEGUNDO
INDICE DE SISMICIDAD
NIVEL DE PROTECCION SISMICA
TIPO DE FUENTE SISMICA
DISTANCIA HORIZONTAL CERCANA A LA FUENTE SISMICA
TIPO DE SISMO
FACTOR DE ESCALA

 $S_{\sigma} = 1.50$   $S_{2r} = 0.55$   $I_{\sigma} = 3.1$  NP = E FUENTE = B  $DIST = \geq 15 \text{ Km}$  SISMO = ORDINARIO  $K_d = 0.66$ 



g



ST Senting County of the Count

ZONIFICACION SISMICA DE GUATEMALA

INDICE DE SISMICIDAD (IO)
Y PARAMETROS DEL SISMO EXTREMO
CON Pe=2% EN SO AÑOS
Sor y S1r EN EL BASAMENTO ROCOSO
MAPA BASADO SIN DOCUMENTO
AGIES PE-01 2017

Ic	Scr	Sir
2.1	0.50g	0.209
2.2	0.70g	0.279
3.1	0.90g	0.35g
3.2	1.10g	0.43g
4.1	1.30g	0.50g
4,2	1.50g	0.55g
4.3	1.65g	0.60g





#### MATERIALES:

El uso de los materiales se ha definido en conformidad con los requisitos de durabilidad a largo plazo establecidos por el código ACI 318-14, los elementos de concreto armado, tienen una resistencia a la compresión de 4,000 PSI con un refuerzo de acero Grado 60 fy 4200 kg/cm2.

### Cargas de diseño:

### Cargas Muertas:

- Los elementos estructurales.
- El pavimento o carpeta de rodadura.
- Las aceras.
- Los barandales.
- Los topes o parachoques.
- Tuberías y conductos.
- Cables y utilidades de servicio público.







### Carga Viva:

Carga en movimiento de carros, camiones y peatones, hay dos tipos de criterios respecto de las cargas.

- a. Carga de Pista: Se asume que ocupa un ancho de 10' y va colocada dentro de 12' que es el ancho standard de diseño para una vía de puente.
- b. Carga de camión: Cargas concentradas, originadas por los camiones estandarizados y que deben analizarse también buscando el caso crítico.

## Carga de impacto y carga de frenado.

La aplicación de las cargas dinámicas producidas por camiones a los puentes, no se efectúa de manera suave y gradual, sino violenta, lo cual produce incrementos notables en las fuerzas internas de la estructura, por esta razón se deben considerar cargas adicionales, denominadas cargas de impacto las cuales se calculan como una fracción de la carga viva que la incrementa en un porcentaje que según AASHTO no debe ser menor al 30% de la carga viva.

#### Presión lateral de tierra

Se calculan utilizando las fórmulas de Rankine para que no sea menor que un equivalente líquido de 30 # / pie<sup>3</sup>. Una sobrecarga equivalente a 2 pies de tierra sobre el nivel del puente, se incluirá en el cálculo cuando así se requiera. Deben diseñarse obras de drenajes siempre.

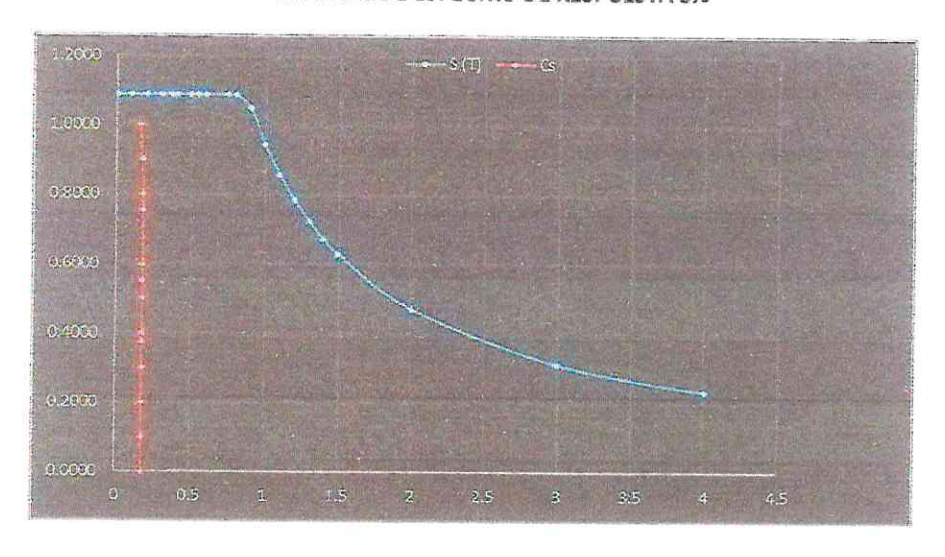
### Fuerzas sismicas

Estas fuerzas se determinan en función del coeficiente sísmico ALPA estructura, que se determina siguiendo lo que establece AGIES 2018.



AJUSTE POR INTENSIDADES SÍSMICAS ESPECIALES		
COEFICIENTE DE SITIO	N <sub>a</sub> =	1.00
COEFICIENTE DE SITIO	$N_{\nu} =$	1.00
ENTONCES	$S_{cs} = S_{cr} * F_{\sigma} \cdot N_{\sigma} =$	1.65 g
LITTOMELS	$S_{3s} = S_{3r} * F_{v} * N_{v} =$	1.43 g
PERIODO DE TRANSICION	$T_S = S_{3s} / S_{cs} =$	0.87
	T <sub>o</sub>	0.17
EXPECTRO CALIBRADO AL NIVEL DE DISEÑO REQUERIDO		
	$S_{ccl} = K_{cl} * S_{cs} =$	1.089 g
	$S_{Id} = K_d * S_{Id} =$	0.9438 g
ACELERACION MAXIMA DEL SUELO	$AMS_d = 0.40 * S_{cd} =$	0.4356 g
COMPONENTE VERTICAL DEL SISMO DE DISEÑO	$S_{vd} = 0.2 * S_{cd} =$	0.2178 g

### GRAFICAS DE ESPECTRO DE RESPUESTA 5%



0.1815

Coeficiente Sismico

Cs=Sa(T)/R

## ANÁLISIS ESTRUCTURAL

El análisis estructural de un puente consistirá en que la carga que afecte la estructura se encuentra en movimiento. Esto significa que cambia de posición a cada instante, tanto longitudinalmente como transversalmente, por eso es diferente determinar las condiciones realmente críticas.

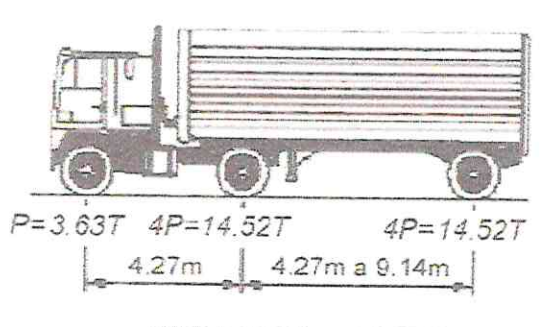
#### Carga de diseño.

HL-93 es un tipo de carga vehicular teórica propuesta por AASHTO en 1993. Se utiliza como carga de diseño para estructuras de carreteras en EE. UU. Y otros países donde se sigue el código AASHTO. La carga viva vehicular AASHTO HL-93 es una combinación de tres cargas diferentes,

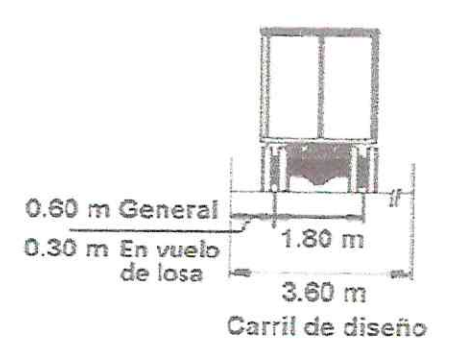
- Camión de diseño HL-93 (anteriormente, camión HS20-44)
- Tándem de diseño HL-93 (anteriormente, militar alternativo)
- Los detalles de la aplicación y el cálculo de la Carga Viva Vehicular de Diseño se explica en "Especificaciones de Diseño de Puentes AASHTO Cl 3.6.1.2".

### Carga HL-93:

### .-Camión de aiseño:



PESO TOTAL= 32 67T



## Datos técnicos y generales para el diseño del puente vehicular.

#### Datos:

Luz libre 8 m Una pista de 4.0 m Acera de 0.75 m Carga viva H1-93

#### Datos técnicos:

 $Wc = 2400 \text{ kg/m}^3$  $Wa = 2100 \text{ kg/m}^3$  $Ws = 1620 \text{ kg/m}^3$  $W_s = 310 \text{ kg/m}^3$  $F'c = 281 \text{ kg/cm}^2$ 

Fv =4200 kg/cm<sup>2</sup>  $9220 \text{ kg/m}^2$  $P_S =$  $P_S =$  $7780 \text{ kg/m}^2$ 

H =variable



Peso volumétrico del concreto Peso volumétrico del asfalto

Peso volumétrico del suelo (Estudio de suelos) Peso volumétrico del suelo (Estudio de suelos)

Esfuerzo del concreto (4000 PSI)

Esfuerzo de fluencia del acero (60,000 PSI) Valor soporte del suelo (Estudio de suelos)

Valor soporte del suelo (Estudio de suelos)

Profundidad de cimentación según estudio de suelos.







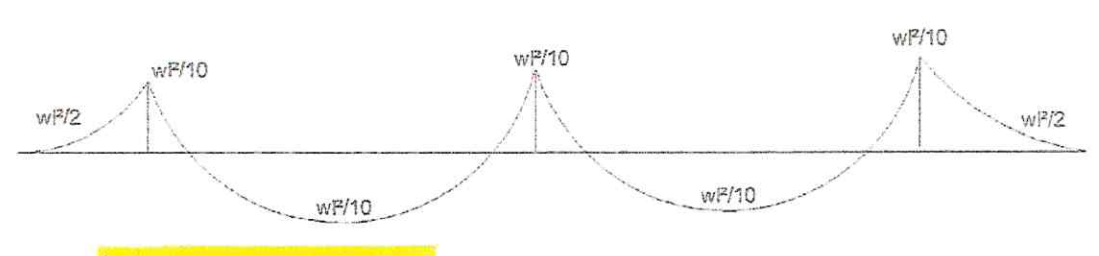


## Calculo de secciones.

#### Diseño de puente vehicular

Espesor de losa (6º minimo )	0.18	M
H viga L/16	0.52	M
B viga	0.31	M
Diafragma externo		
H diafragma externo	0.3	M
B diafragma externo	0.2	M
Diafragma interno		
H diafragma externo	0.4	M
B diafragma externo	0.2	M

## Calculo De momentos actuantes.



Losa		
Wlosa	432	Kg/m
Wdiafragma externo	144	Kg/m
Wdiafragma interno	192	Kg/m
Wviga principal	386.88	Kg/m
Wcortina	424.08	Kg/m
W soporte	480	Kg/m
W asfalto (Carril central)	105	Kg/m
W barandas	55	Kg/m
Wcm	592	KG/M

Mem	296	kg-m	Aletones	
Mcm	532.8	kg-m	Central	Mayor
Mov	521.83	kg-m		
Ci	0.40	%		

2275.52857 kg-m

## Calculo de acero de refuerzo

Mu = 2275.53 kg-mB = 100 cm

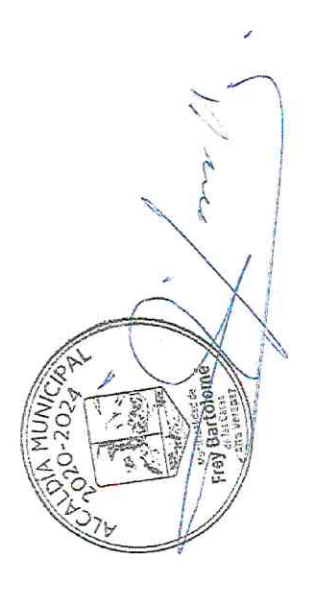






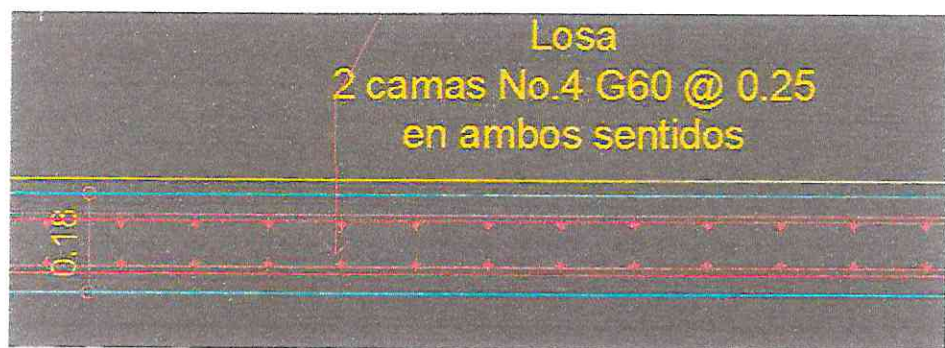






Fy = 4200 kg/cm2F'c = 281 kg/cm2T = 18 cmPeralte d (-) = 18-5-0.8= 12.20 cmPeralte d (+) = 18-5-0.8= 12.20 cm

As requerado = 4 varillas de 🕾 Grado 60 🖫 0.25 metros en ambos sentidos.



Calculo de acero de refuerzo en los diafragmas según ACI 318-19.

$$\frac{0.80\sqrt{f_c'}}{f_y}b_wd$$

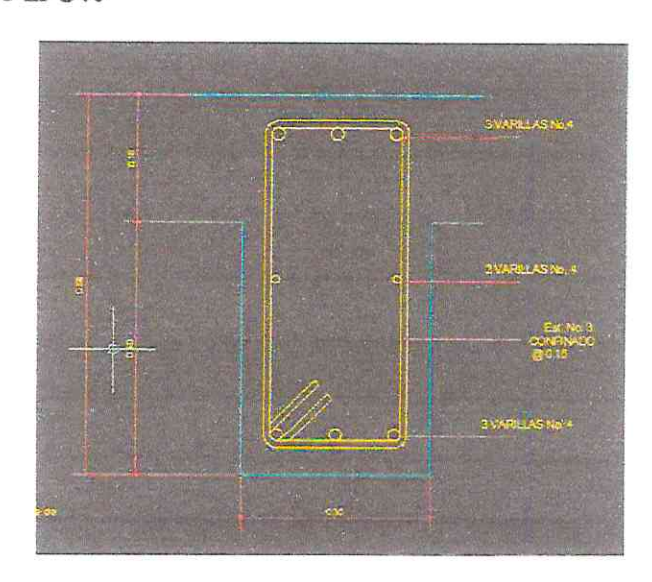
$$\frac{14}{f_2}b_w d$$

Diafragma externo e interno (Se uniformiza por la longitud del puente)

B=0.3m H= 0.4m

As = 3.60 cm 2

Acero propuesto = 3 varillas de  $\frac{1}{2}$ " G60, en cama superior e inferior. Est de  $\frac{3}{8}$ " @ 0.15 m G40





651670

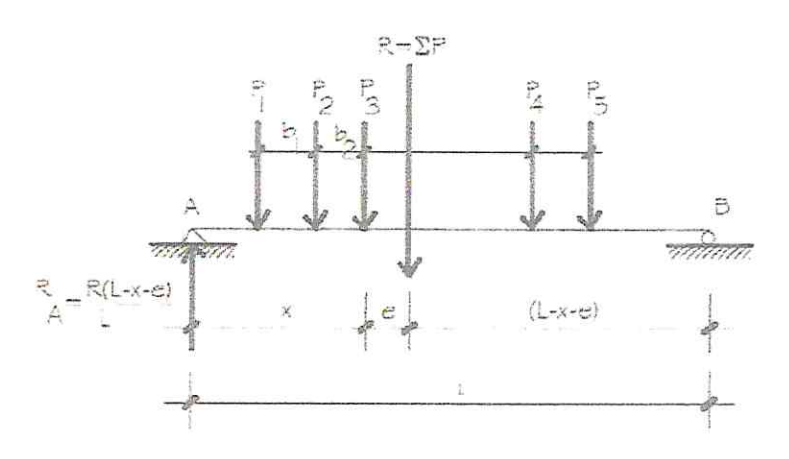






## Diseño de vigas principales

No se considera carga viva por ser un puente corto de 8 m, debido a que la posibilidad de que existan 2 tráiler al mismo tiempo sobre el puente es nula.

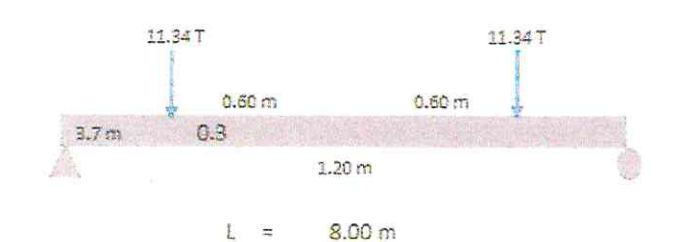


El momento máximo se determina mediante el teorema de Barré.

El cual establece que la reacción máxima se obtendrá en el eje más cercano a la carga puntual (Lianta).

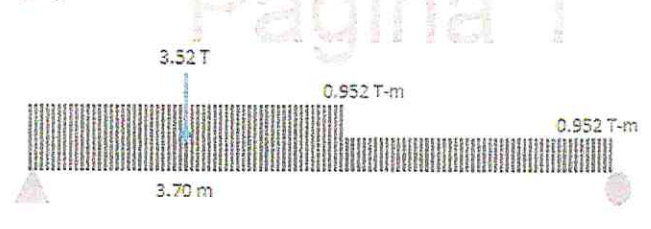


#### - Tanden de Diseño (TD)



R	=	2	2.68 T	
n	=	ε	1.60 m	
RA	=	1	0.49 T	
RB	=	1	2.19 T	
Mm	- 10	=	38.817	-m
Mas	2 - 01	=	38.81 7	-m
RA,		2	38.81	ī-m

#### - Carril de Diseño (CC)



8.00 m

RA =	3.81 T
RB =	3.81 T

7.62 T

7.57 T-m

- M(LL - M)

CD =

38.81 T-m CC =

7.57 T-m

M(LL + 82)

38.81 T-m

1.33





#### CARACTERISTICAS GEOMETRICA DE LA VIGA

Ancho b (cm)=

Altura h (cm)=

PROPIEDADES DE LA VIGA



Momento Ultimo (Tn-m)=	37.5	
Momento Ultimo (Kg-cm)=	3750000	
f'c (kg/cm²)=	080	
fy (kg/cm²)=	4210	İ
Factor de reducción (ø)=	0.9	



a= 0.220588235

b= 66

g= 992.06

RESULTADOS INICIALES

peraite d (cm)=	66.00
recubrimiento r (cm)=	4,5
As (cm²)=	283.33
As (cm²)=	15.87

## ENCONTRANDO CUANTIAS

E=	2100000
€u=	0.003
Es=	0.002
8=	0.85
Thele	0.0300

Breq=	0.006	
<u>⊠</u> aci=	0.025	
@max=	0.022	

¿DOBLEMENTE REFORZADA?





#### ENCONTRANDO MOMENTO NOMINAL

øMn (Kg-cm)=	12833544.71
glvin (Ton-m)=	128.34

#### **ENCONTRANDO MOMENTO 2**

M2(ton-m)=	-90.84
M2(Ka-m)=	-9083544 71

## ENCONTRANDO ACERO 2 A TENSIÓN

A52(cm2)=	-38,76

#### AREA TOTAL DE ACERO A TENSIÓN

Astensión=	27.24

#### AREA DE ACERO A COMPRESIÓN

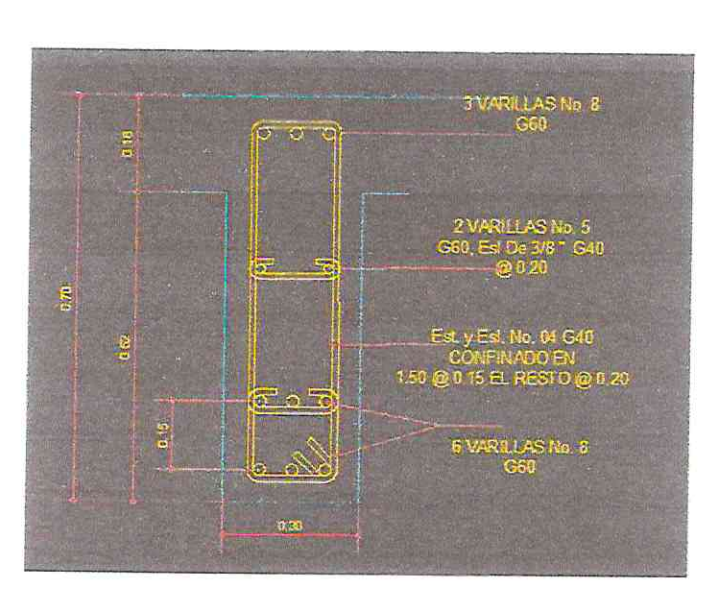
THE RESERVE OF THE PERSON NAMED IN COLUMN 1	
Ascompresión=	-51.68

#### PROPONIENDO AREA DE ACERO PARA TENSIÓN

Et éres de acero requerido pará la cama inferior es de 6 varillas de 1º de diámetro (760) En la cama superior, se requiere 3 varillas de 1º de diámetro, con 2 varillas centrales de 3/4º

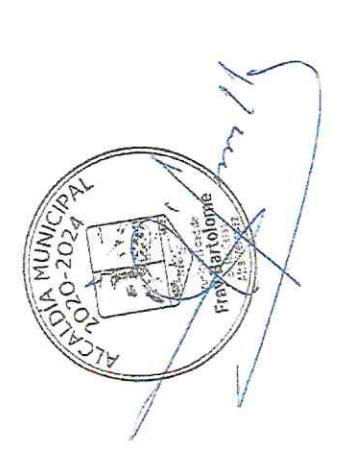
Fourbos a el tizar de 1-2" G 60, confinados en los extremos, a inte longitud de 1,50 b letros. @ 0,10, at resto a @ 0,15 metros.



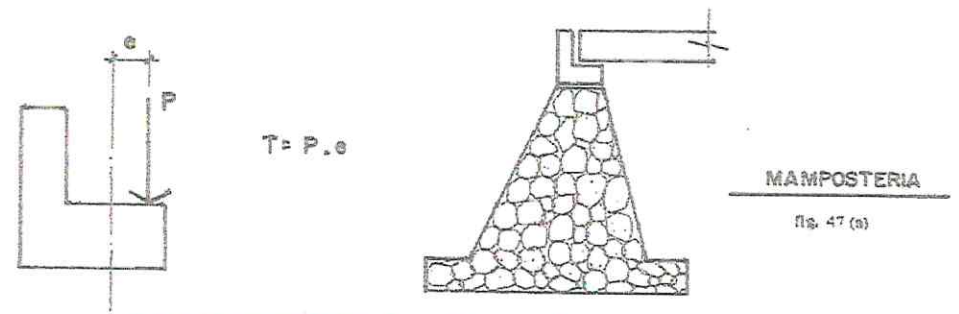


CPAL DE DO 2002 CONTRACTOR A COLONIA COLONIA E A TROLOGOME A LA TROLOGOME A COLONIA CO

Detalle de viga.

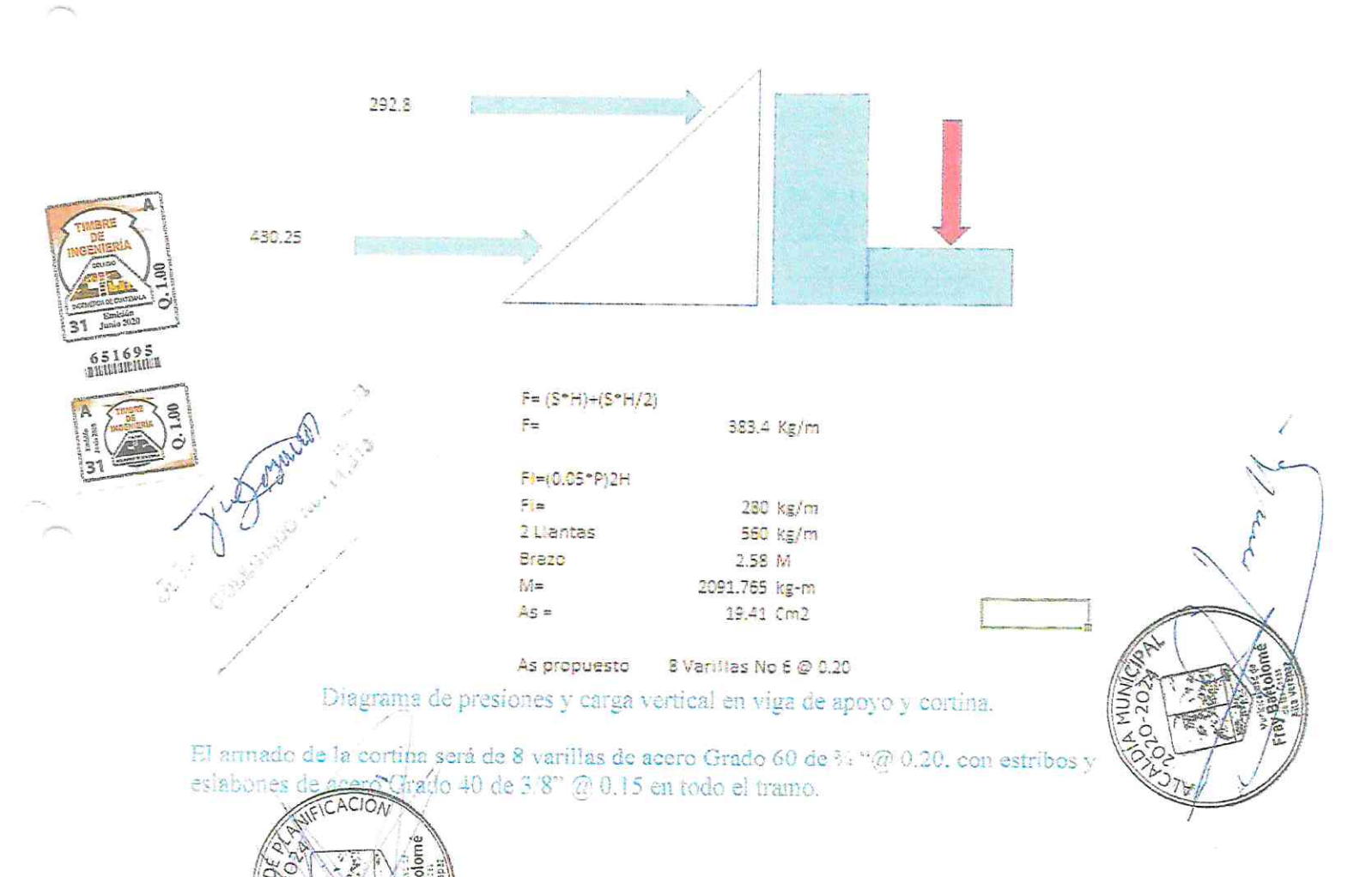


### Diseño de la base de apoyo

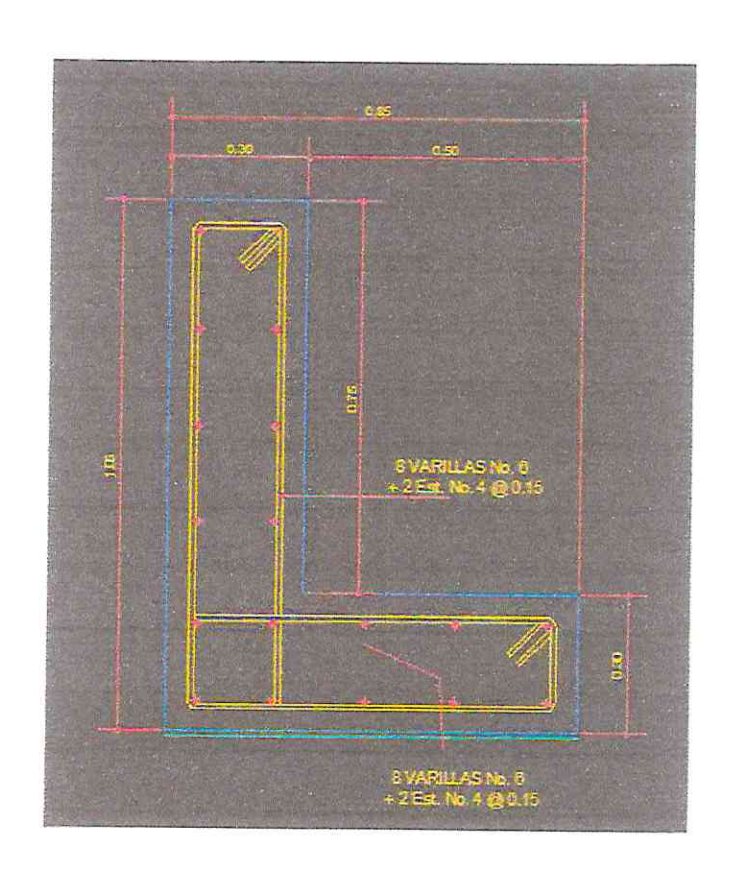


Modelo matemático para el diseño de la cortina de apoyo.

Según AASHTO 3.20, se deberá considerar una sobrecarga del suelo del equivalente líquido de 2 pies (0.61 m) de alto, con una presión de  $480 \text{ kg/m}^3$ 

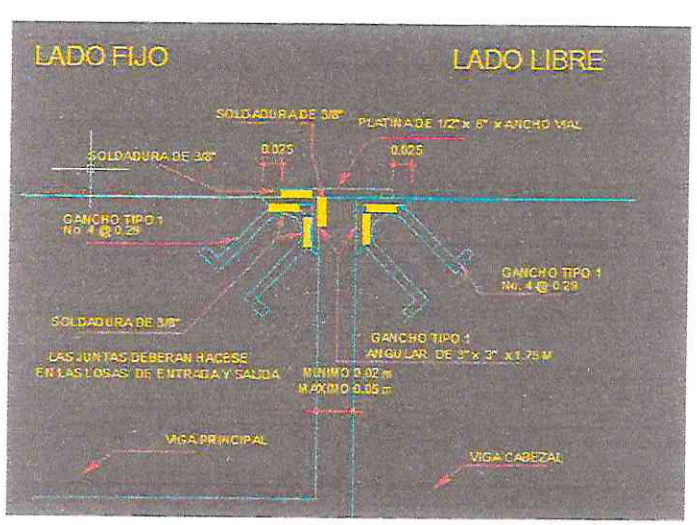


El armado para la viga de apoyo será el acero minimo, debido a que esta está apoyada en toda su longitud.









Detalle de Junta sismica.



### DISEÑO DE MURO DE CONTECIÓN DE MAMPOSTERÍA

#### 1.- Parámetros de Diseño

#### Material de Relleno:

y=	1.79	ton/m <sup>3</sup>	Peso Volumetrico	
c=	3.00	ton/m <sup>2</sup>	Cohesián	Se debera
ф=	20	° (grados)	Ángulo de Fricción interna	caracteris

a de comprobar las risticas del rell<mark>e</mark>no

#### Suelo de Cimentación:

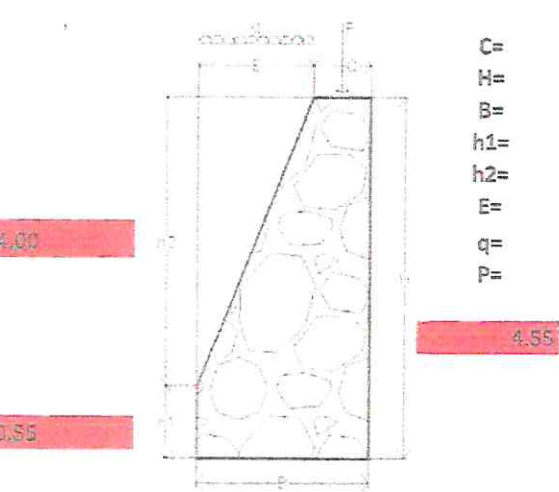
y=	1.62	ton/m³	Peso Volumetrico
c=	3.50	ton/m²	Cohesión
ф=	18	o (grados)	Ángulo de Fricción interna
qu=	12.50	ton/m²	Capacidad de carga del terreno

#### Muro de conteción:

2.20

ton/m3

Peso Volumetrico



C=	0.90	m	Corona
H=	4.55	m	Altura
B=	3.00	m	Base
h1=	0.55	m	Rodilla
h2=	4.00	m	Escarpio
E=	2.10	m	
q=	0.54	ton/m <sup>2</sup>	Sobrecar

7.62

ton/m

recarga Relleno Viga Sobrecarga

## 2.- Modulo de reacción:

$$k = \frac{1 - \sin \Theta}{1 + \sin \Theta}$$

ķ=

0.4903



#### A 3.- Empujes y Punto de Aplicación.

#### 3.1 Empueje debido a la Sobrecarga:



Eg=

1.204644 ton





P.A=

2.28









3.2 Empueje debido al Suelo.

$$\mathcal{E}s = \frac{\gamma H^2 k}{2}$$

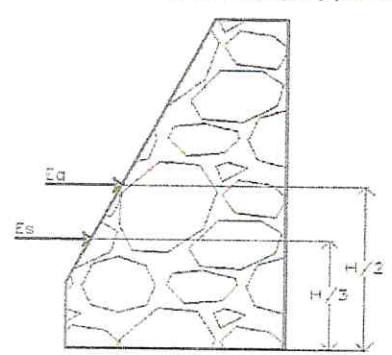
Es=

8.22 to

P.A=

1.52

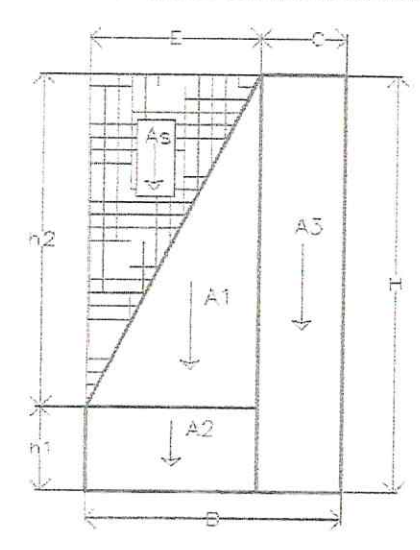
3.3 Resultante de empujes y punto de aplicación



Et= P.A= 9.43 ton

## 4.- Peso del muro de conteción.

Para calcular el peso del muro de conteción se dividio en las siguientes secciones.



#### 4.1 Areas de las secciones

A <sub>1</sub> =	4.20	m²
A <sub>2</sub> =	1.16	m²
A3=	4.10	m²
As=	4.20	m²

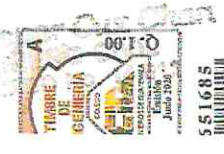
## 4.2 Cálculo del peso del muro

$W_1 =$	9.24	ton/m
$W_2 =$	2.54	ton/m
$W_3 =$	9.01	ton/m
Ws=	7.52	ton/m
P=	7.62	ton/m
Wt=	35.93	ton/m

#### 4.3 Cálculo del punto de aplicación

para	$W_1 =$	P.A.=	1.60	m
para	W <sub>2</sub> =	P.A.=	1.95	m
para	₩ <sub>3</sub> =	P.A.=	0.45	m
para	Ws=	P.A.=	2.30	m
para	P=	P.A.=	0.45	m











## 5.- Cálculo del volteo y deslizamiento

	Momento total	Momento	Brazo de palanca	Fuerza Horizontal	Fuerza vertical
	45.04	2.74	2.28	1.20	
	15.21	12.47	1.52	8.22	
		14.78	1.60		9.24
	44.51	4.95	1.95		2.54
Momento resultante		4.05	0.45	-	9.01
		17.29	2.30		7.52
29.30		3.43	0.45	-	7.62
-1				9.43	35.93

### 5.1 Revisión por Deslizamiento.

F.S. >

1.50 Factor de seguridad

$$F.S.peslizamienzo = \frac{\sum Fv}{\sum Fh}$$

F.S.=

3.81

Ok, pasa!

5.1 Revisión por Volteo.

F.S. >

2.00 Factor de seguridad

$$F.S._{valzeo} = \frac{\sum M \ resistentes}{\sum a \ volteo}$$

F.S.=

2.93

Ok, pasa!

## 6.- Revisión por capacidad de carga del Terreno

qu=

12.50

ton/m2

Capacidad de carga del terreno

Wt=

35.928

ton/m

Peso total del Muro de contención

Presión del muro de contención sobre en terreno

Pt= Wt / B

Pt=

11.976

ton/m²

Verificación de la capacidad de carga.

qu ≥

12.50 ≥ Ok, pasa!









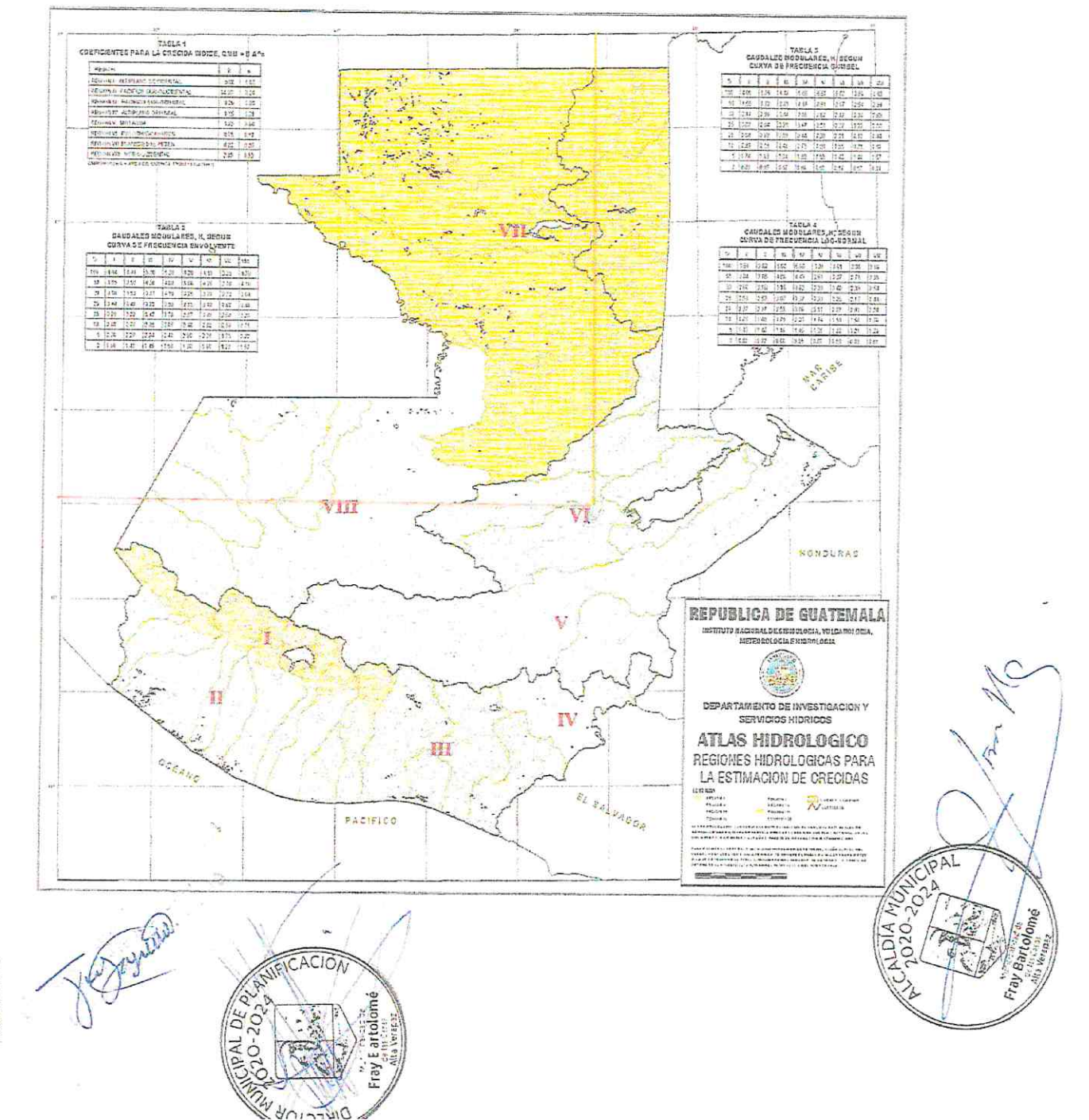
#### INTRODUCCION

El presente estudio se basa en el analisis de los distintos datos hidrologicos que permiten predecir el caudal del río Yaxha. Donde se contempla la construccion de un puente vehicular, con las siguientes coordenadas.

15°53'8.43"N

89°44'36.98"O

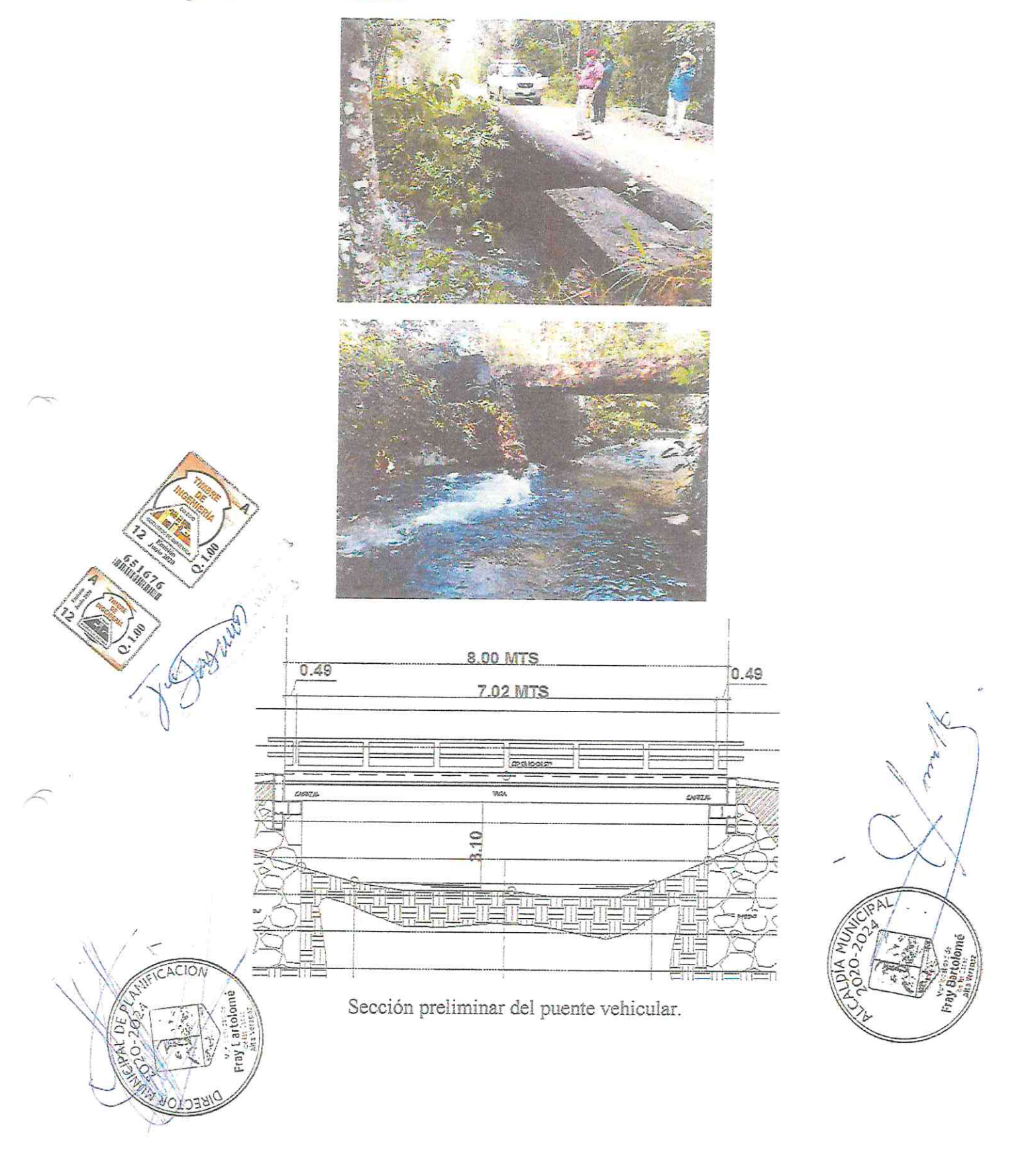
En funcion de los datos, de precipitacion,







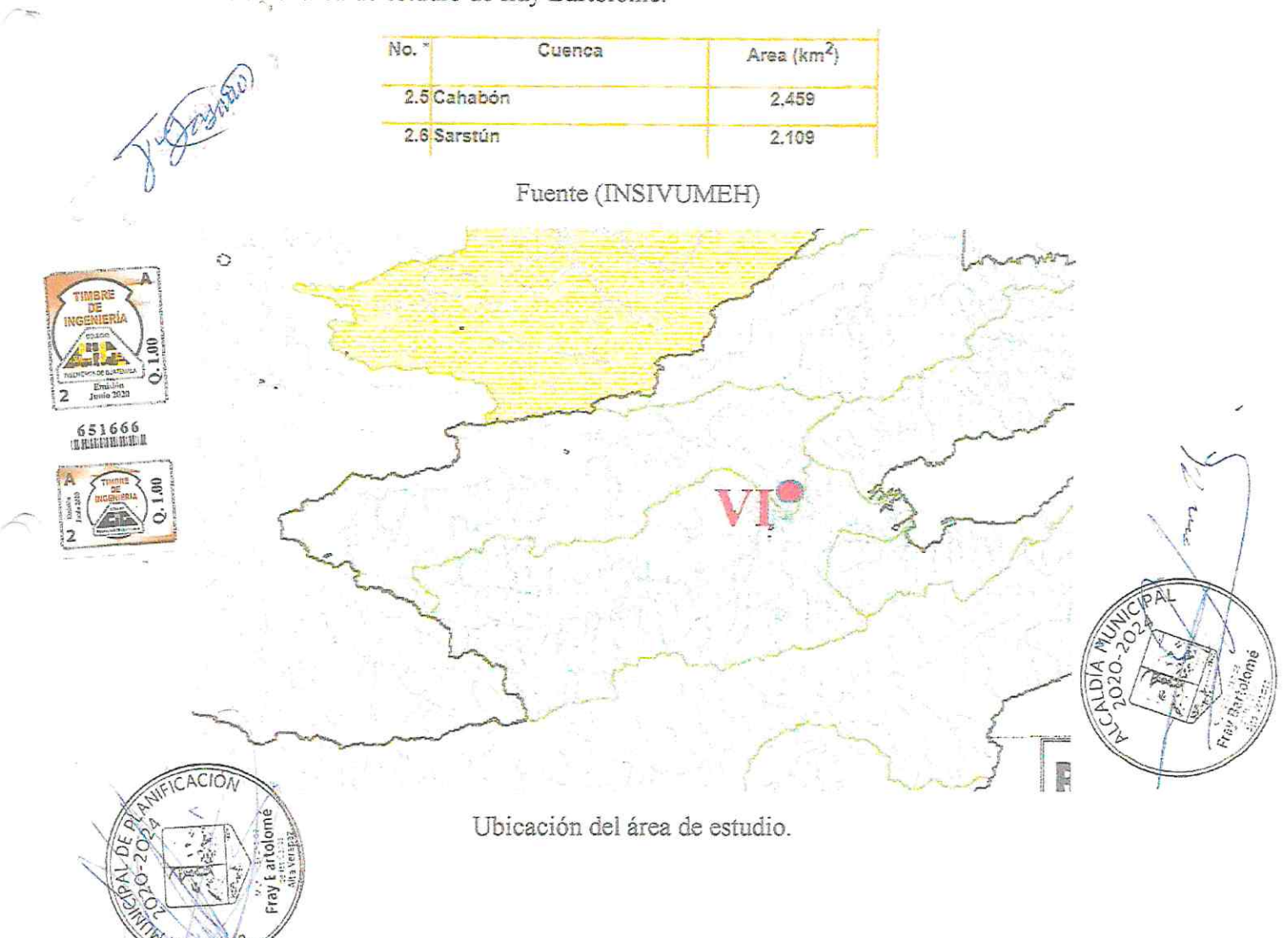
Fotografías del área de estudio.



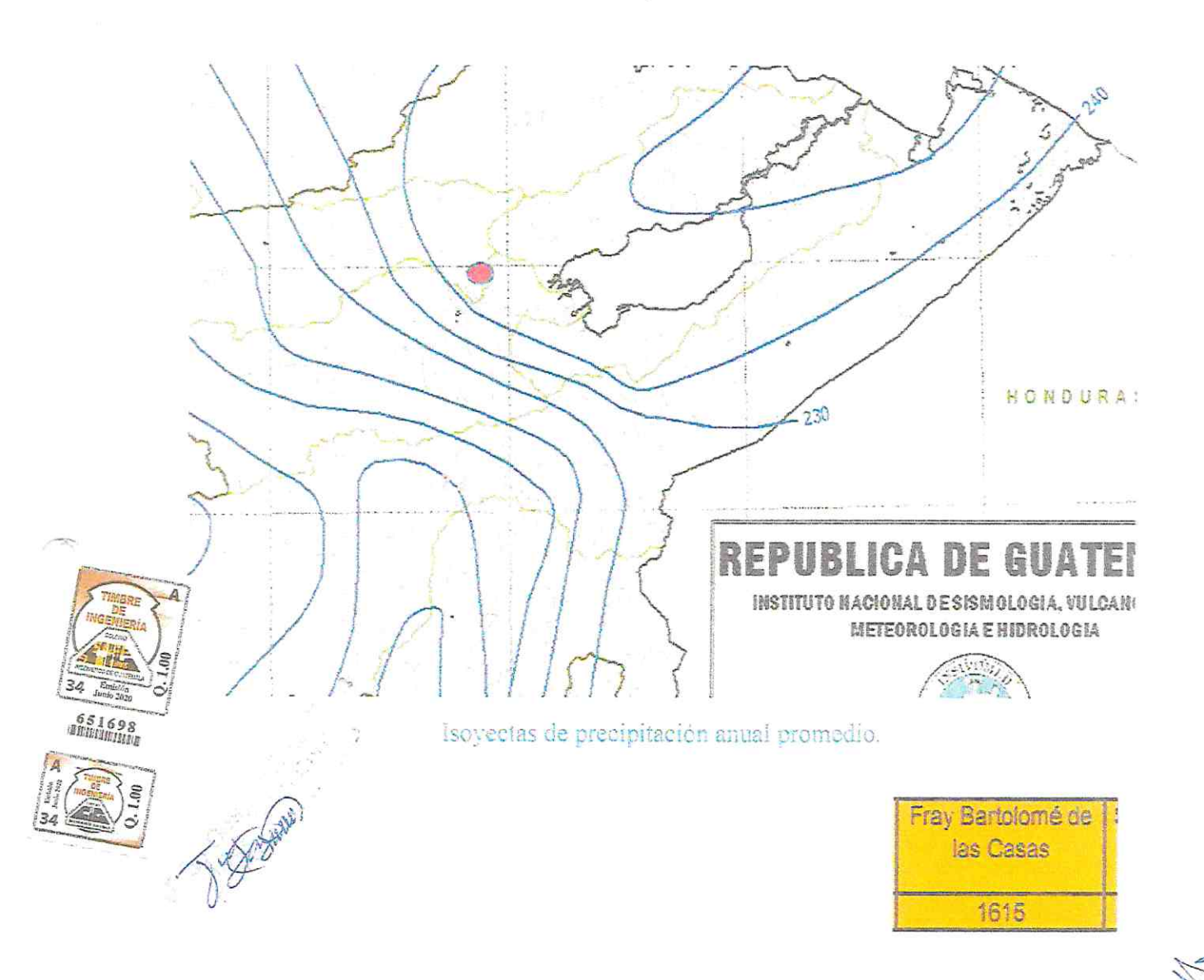
La mayor parte del territorio de Fray Bartolomé de las Casas, se encuentra dentro de la cuenca del Río La Pasión, perteneciente a la vertiente del Golfo de México, mismo que le sirve como límite natural; y una parte de la región sur-este pertenece a la cuenca del Río Sarstún, de la vertiente del Atlántico, donde se localiza el río Chiyú, además es irrigado por varios ríos, siendo los más importantes, El Chajmaic, El Sebol, y Santa Isabel o Cancuén, que pertenecen a la cuenca Río la Pasión, de acuerdo a la percepción local, la población idéntica 10 nacimientos de agua que abastecen a diversas comunidades incluida el área urbana, sin embargo no todas disponen de uno que permita su aprovechamiento mediante sistemas de captación y distribución.

Para el análisis hidráulico del puente, se considera importante tratar el tema geomorfológico por lo que se hace una descripción de los aspectos geomorfológicos más relevantes del cauce, describiendo las características del mismo y su relación con la estabilidad tanto horizontal como vertical y también los riesgos de erosión tanto al cauce, a los bancos así como a las estructuras de soporte del puente.

Cuentas en el área de estudio de fray Bartolomé.



Datos según vertiente



Precipitación promedio	P_PRO	2,102.65
Precipilación máxima	P_MAX	2,232,26
Precipitación mínima	P_MIN	2,020.13/

## Intensidad de precipitación.

Esta metodología permite determinar la intensidad de precipitación para una duración y periodo de retorno determinados. Las ecuaciones presentan la forma general:



$$i_{y_r} = \frac{A}{(B+t)^n}$$

Donde:

iTr = Intensidad de precipitación para un período de retorno (Tr), en mm/h.

A, B y n = Parámetros de ajuste según el período de retorno (tabla 2)

t = Duración de la precipitación (minutos)

#### Método de Talbot

 $a = 0.183CA^{3/4}$ 

Donde:

a= área hidráulica necesaria en m2

C= Coeficiente de escorrentía

A= Área de cuenca tributaria (hectáreas)



De los datos hidrográficos obtenidos en los mapas del INSIVUMEH, Se determinara el area necesaria para la crecida del rio.

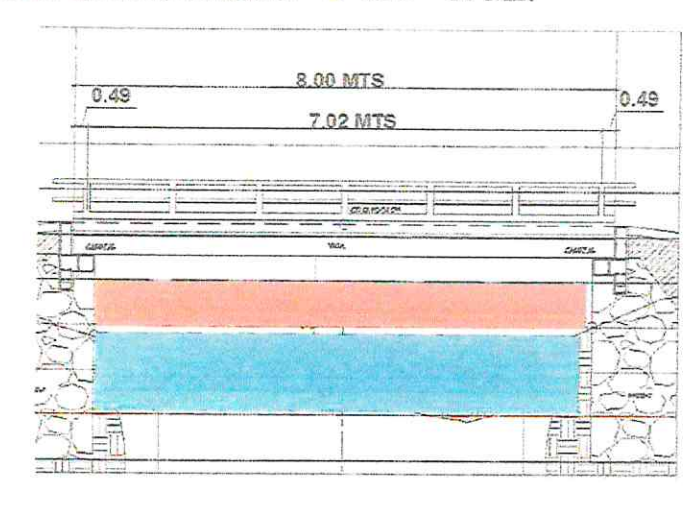
Entonces

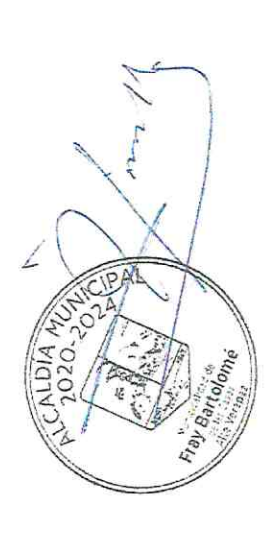
C = 0.6

A 2459

Área disponible sobre nivel de rio actual = 8\*1.25 = 10 M2.







El área necesaria para el caudal excedente en horas pico es 6.81 M2 < 10 m2 de área disponible, según perfil de puente con una cota de 1.20 mts. Debajo de la superestructura del puente. Por lo que es factible la altura de diseño de la superestructura del puente.

#### Conclusiones

En cuanto a la morfología del cauce, se puede determinar que el mismo tiene relativa estabilidad lateral y horizontal. En el sitio del puente, el cauce no ha tenido migraciones y ha mantenido su posición.

#### Recomendaciones

Con base a los resultados de los niveles de inundación obtenidos, el diseño del puente debe considerar el resguardo respectivo para las estructuras del puente, así como la posibilidad de alejar los aproches hacia ambas márgenes de tal manera de dejar más luz entre los mismos.



Nota aclaratoria.

Los mapas utilizados para el análisis son mapas de dominio público. Del IGN, mapas hidrográficas del INSIVUMEH.



_			
No.	У	X	Z
1	500	500	100
2	499.718	496.558	99.93
3	495.305		
4	497.485	490.493	99.84
5	501.689		
6	502.616	493.538	98.55
7	504.002	498.542	98.41
8	510.309	504.429	98.22
9	497.65	489.919	98.48
10	494.243	486.267	98.15
11	487.345		
12	507.149	488.192	99,51
13	503.062	484.365	99.42
14	504.63	490.593	95.55
15	499.737	487.66	95.48
16	502.123	485,193	98.25
17	496.136	481.21	98.3
18	489.427	476.18	98.08
19	506.642	489.291	98.49
20	512.611	498.147	98.38
21	510.356	484.406	99.34
22	507.086	479.093	99.3
23	484.813	510.639	98.69
24	480.475	506.337	98.75
25	487.994	507.586	99.28
26	484.033	502.123	99.\$2
27	495.075	500.865	99.63
28	489.263	497.867	99.56
29	497.372	497.829	99.68
30	493.716	492.879	99.73
31	510.599	475.752	39.65
32	516.589	479.473	99.72
33	529.176	467.48	99.94
34	521.759	465.697	99.85
35	535.412	456.509	100.1
36	527.393	455.899	100.05
37	539.118	444.528	100.02
38	531.317	442.058	99.98
39	537.235	443.873	100.01
40	537.967	429.213	99.86
41	529.796	424.592	99.8
42	529.788	411.478	99.93
43	520.911	412.824	99.95
44	513.589	402.705	100.3
45	518.599	398.267	100.33



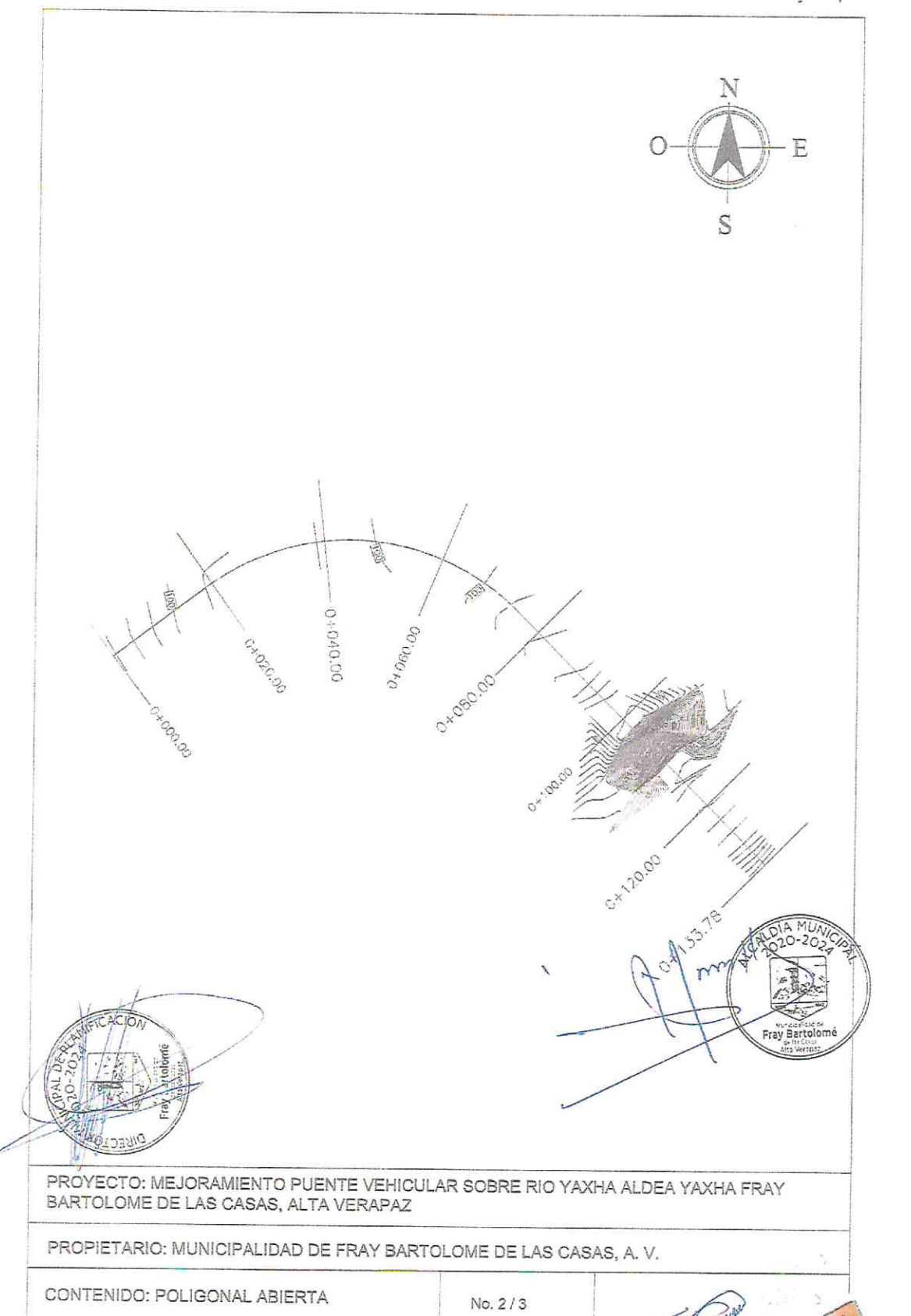
PROYECTO: MEJORAMIENTO PUENTE VEHICULAR SOBRE RIO YAXHA ALDEA YAXHA FRAY BARTOLOME DE LAS CASAS, ALTA VERAPAZ

PROPIETARIO: MUNICIPALIDAD DE FRAY BARTOLOME DE LAS CASAS, A. V.

CONTENIDO: LIBRETA TOPOGRAFICA No. 1/3

FECHA: MARZO 2020 ESCALA: SIN ESCALA

Vo. Bo.



ESCALA: SIN ESCALA

Vo. Bo.

FECHA: MARZO 2020

